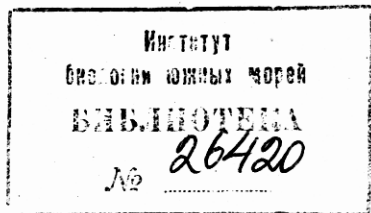


АКАДЕМИЯ НАУК УКРАИНСКОЙ ССР
ОРДENA ТРУДОВОГО КРАСНОГО ЗНАМЕНИ
ИНСТИТУТ БИОЛОГИИ ЮЖНЫХ МОРЕЙ
им. А. О. КОВАЛЕВСКОГО



БИОЛОГИЧЕСКИЕ ИССЛЕДОВАНИЯ
В ТРОПИЧЕСКОЙ ЗОНЕ ОКЕАНА



ИЗДАТЕЛЬСТВО «НАУКОВА ДУМКА»
КІЕВ - 1975

ИССЛЕДОВАНИЯ ПО РАДИАЦИОННОЙ И ХИМИЧЕСКОЙ ЭКОЛОГИИ ОКЕАНОВ

Г.Г.Поликарпов, А.Г. Бенкицкий, В.Н.Егоров, В.Г.Цыбугина

Согласно В.А.Водяницкому (1953), "продуктивность водоема есть результат жизнедеятельности организмов в условиях среды данного водоема". С этой точки зрения весьма интересно выяснить механизмы распределения и миграции радиоактивных и химических веществ в эуфотической зоне пелагиали Мирового океана, а также судьбу живого вещества (по акад. В.И.Вернадскому) в ноосфере – изменяемой человеком природе.

Программа исследований отдела радиационной и химической биологии ИнБиОМ АН УССР предусматривала получение следующей информации:

1. Живое вещество в океанах, его поля и роль в миграции радиоактивных и химических веществ (плейстон, нейстон и эпизоопланктон):

- а) общая характеристика распределения сестона в Атлантическом и Тихом океанах;
- б) биологические поля, их микроструктура и хемозэкологическое значение;
- в) некоторые конкретные вопросы хемозэкологии населения эпипелагиали;
- г) распределение в океанах биологически активных соединений, содержащих изотопные носители радионуклидов.

2. Экологические исследования загрязненности океанических организмов и их биотопов:

- а) гамма-спектры;
- б) способность океанических гидробионтов концентрировать радионуклиды – загрязнители среды;
- в) другие загрязнения – нефтяные агрегаты;
- г) фон хромосомной изменчивости у океанических животных из географически удаленных районов.

Полученные экспериментальные данные являлись основой для создания математических моделей, обеспечивших постановку и эффективное решение все усложняющихся задач и проблем.

Применявшиеся нами методы сборов планктона, нейстона и плейстона описаны соответственно М.Е.Виноградовым (1968), Ю.П.Зайцевым (1970) и А.И.Савиловым (1969). Радиоэкологические и хемозэкологические методы и принципы отражены в книгах "Радиоэкологические исследования Средиземного моря" (1970), "Морская радиоэкология"

"гия" (1970), "Витаминные ресурсы" (1961), "Радиационная и химическая экология гидробионтов" (1972), "Хеморадиоэкология пелагиали и бентали" (1974).

В четвертом рейсе были продолжены работы по математическому обеспечению биологических исследований во время экспедиции, начатые во 2-м рейсе на с/х "Академик Вернадский". Созданы алгоритмы, отражены в символах Алгол-60 и реализованы посредством транслятора ТАМ-22 шесть вычислительных программ для ЭВМ "Минск-22". Программы предназначены для обработки данных биологических наблюдений.

1. Программа определения случайности расположения вариант выборок.

2. Программа сравнения выборок, варианты которых распределены по нормальному закону.

3. Программа вычисления корреляционных соотношений.

4. Программа расчета коэффициентов накопления, вычисления и табличного вывода средних значений, доверительных интервалов средних и характеристик варьирования вариант выборок, распределенных нормально.

5. Программа вычисления количественных характеристик биологических сборов и некоторые другие.

6. Программа сравнения коэффициентов корреляции и линейных регрессионных зависимостей.

Программы математического обеспечения позволяют до 40 раз уменьшить затраты времени на этапе обработки данных.

Перечень станций наших работ на общесудовых станциях представлен на карте 4-го рейса на с/х "Академик Вернадский" (рис.1).

I. Живое вещество в океанах, его поля и роль в миграции радиоактивных и химических веществ
(плейстон, нейстон и эпизоопланктон)

Понятие "живое вещество" применяется здесь в определении акад. В.И.Вернадского, как совокупность живых организмов (В.И.Вернадский, 1965).

Общая характеристика распределения сестона в Атлантике и Тихом океане

В работах применялись сети Джеди и МНТ с газом № 23 и 35.

На карте (рис.2) представлена картина распределения сестона (газ № 23) в приповерхностном слое (0,0-20 см) и для сравнения в слое 0-50 м, на которой выявляются довольно высокие концентрации приповерхностного сестона вдоль экватора в Тихом океане с тенден-

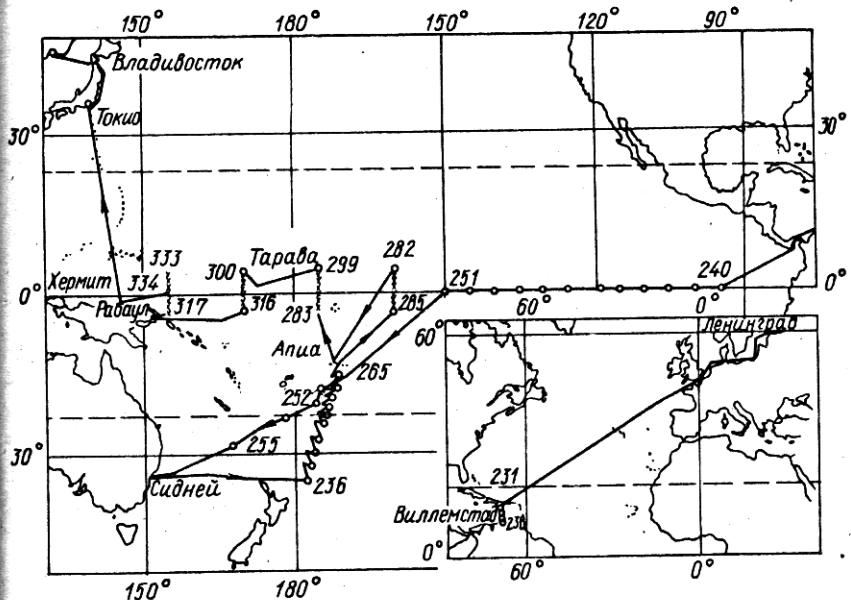


Рис. I. Схема маршрута 4-го рейса нис "Академик Вернадский".

цией к увеличению с запада на восток (навстречу течению). Достоверно больше сестона на горизонте 0–50 м в экваториальной зоне Тихого океана (станция 47, среднее из 70 проб), чем в Карибском море (станция 6–10, среднее из десятка проб). Аналогичное заключение относится и к сестону приповерхностного слоя (0–20 см) этих станций. Распределение сестона на меридиональном разрезе в Тихом океане представлено в табл. I.

Биологические поля, их микроструктура и хемоэкологическое значение

Во 2-м рейсе нис "Академик Вернадский" нами было определено, что распределение компонентов плейстоно-нейстононого комплекса составляет пирамиду полей разной градации. В 4-м рейсе такое же исследование мы провели в Тихом океане. В табл. 2 и на рис. 3 отражается общность структуры биополей в двух различных районах. В

Таблица I

Распределение сестона в слое 0–50 м на разрезе в
Тихом океане

Станция отряда (судовая)	Координаты		Время суток	Количество сестона, мг/м ³
	Широта	Долгота		
39 (268)	3°00' ю.	160°00' з.	16 ч 33 м	59
40 (272)	1°00' ю.	160°00' з.	17 ч 55 м	4
42 (276)	1°00' ю.	160°05' з.	16 ч 42 м	150
43 (282)	3°52' ю.	159°52' з.	11 ч 00 м	202
			11 ч 09 м	88
			20 ч 08 м	200

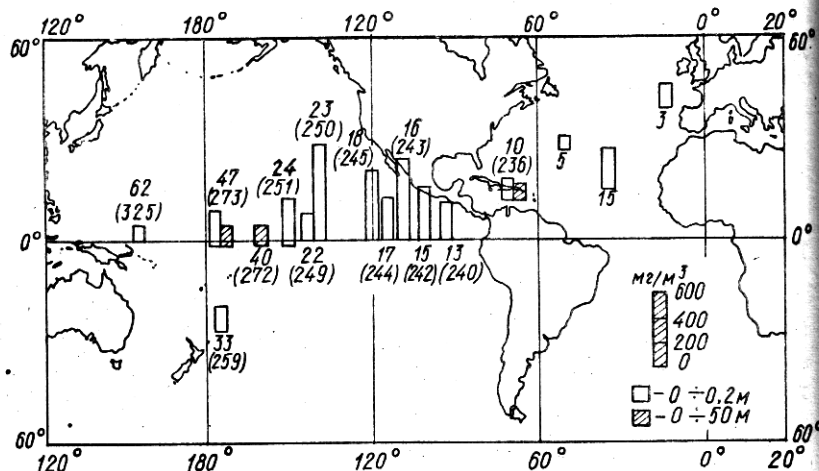


Рис.2. Распределение сестона в приповерхностном (0,0–0,2 м) и верхнем эуфотическом слое (0–50 м) в Атлантике и Тихом океане. Цифры – номера станций.

распределении видов гидробионтов на поверхности океанов преобладает рассеянное состояние и наименьшая частота встречаемости относительно крупных полей (в пределах изучаемого района). Для полигона в Атлантике не изображены поля, охватывающие всю протяженность дрейфа, образованные четырьмя компонентами: представителем гиперицид, сальп, слизистыми образованиями (по-видимому, после гибели сальп) и нефтяными агрегатами.

На рис.4 изображено распределение частот полей различных градаций, показана крайняя неравномерность чередования количеств

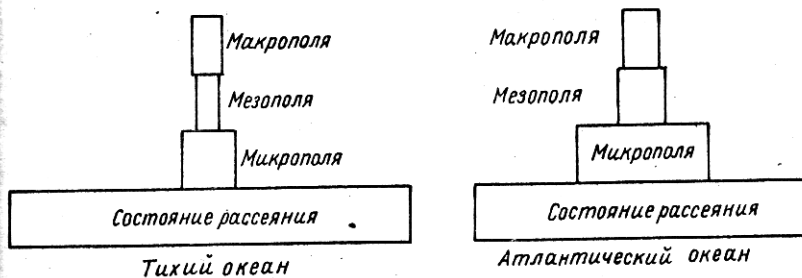


Рис.3. Пирамиды частот полей разной градации.

Направление дрейфа судна

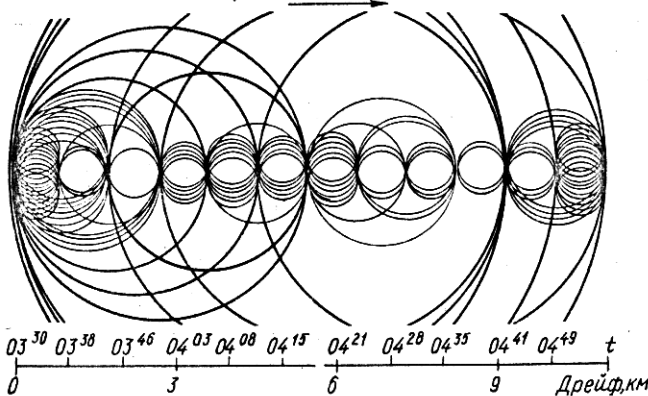


Рис.4. Распределение биологических полей и состояния рассеяния (конкретный пример).

и типов полей в пределах II км дрейфа за полтора часа. Сходная картина получена нами на океанографическом полигоне в Центральной Атлантике (в 1970 г.).

Предпринятый биогеоценологический подход к изучению распределения живого вещества должен послужить приближению понятий биологического поля к понятиям физических и химических полей.

Познание структуры и динамики биологических полей откроет пути изучения биогеохимических механизмов миграции и распределения химических веществ в биогеоценозах пелагиали.

Некоторые вопросы хемоэкологии населения эпипелагиали

На рис.5 представлены в сопоставимых единицах концентрации популяций (биомассы) массовых видов копепод Карибского моря и принятые концентрации редких, радиоактивных и микроэлементов в морской воде.

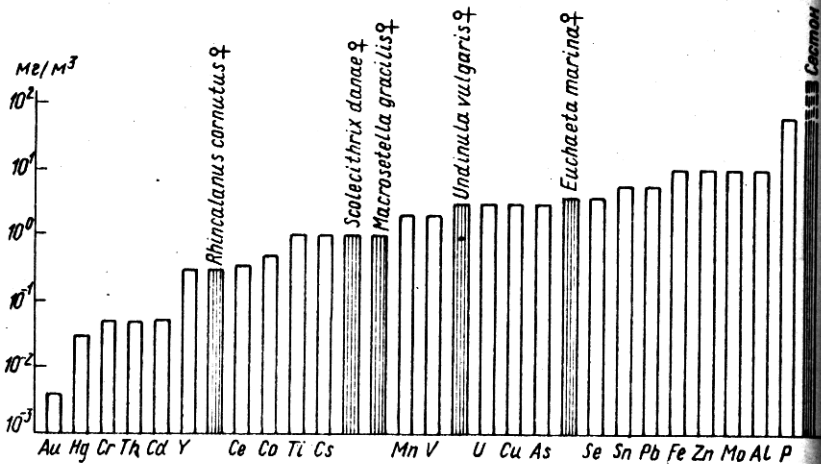


Рис.5. Сопоставление биомасс массовых видов копепод Карибского моря и концентраций радиоактивных, редких, рассеянных и микроэлементов.

От этой картины реального соотношения биогеохимического фактора – живого вещества и собственно химических элементов можно перейти к выяснению роли живого вещества в их миграции. Приведем близкий нам пример.

Коэффициент накопления природного минерального кобальта у планктонных организмов составляет величины порядка сотен (и даже 10 000 в случае сагитт), а коэффициент накопления кобальтсодержащего биологически активного вещества – витамина B_{12} – доходит до сотен тысяч, т.е. переход кобальта в форму витамина B_{12} резко повышает его миграционные способности. Концентрация витамина B_{12} в морской воде на один-два порядка величин меньше таковой кобальта, но неоравненно более высокие коэффициенты накопления биохимически оформленного кобальта поднимают его до высоких концентраций в организмах. Дальнейшие исследования выясняют долю минерального и "биохимического" кобальта в живом веществе. Не исключено, что значительное количество кобальта в организме морских растений и животных представлено витамином B_{12} и продуктами его трансформации.

Таблица 2

Характеристика биологических полей (горизонт 0-20 см) в Атлантике и Тихом океане

Тип поля	Частота встречаемости в последовательном ряду проб	Примеры протяженности поля (м) в зависимости от дрейфа	
		Атлантика	Тихий океан
Состояние рассеяния	I-2	<500	2000
Состояние поля микрополе в т.ч. миниполе	3-5	>500 <1500	>2000 <5000
мезополе	3	<1000	3000
макрополе	6-10	<2500	<10000
	II-20	<5000	<20000
	>20	>5000	>20000

В дальнейшем привязка таких данных к сложной структуре и динамике биологических полей позволит количественно оценивать роль живого вещества как фактора миграции химических элементов "невиданной силы" (по акад. В.И.Вернадовому). Тогда станет возможным проследить конкретные пути включения и участия в общем круговороте веществ радионуклидов кобальта, представляющих радиоэкологический фактор (рис.6, а).

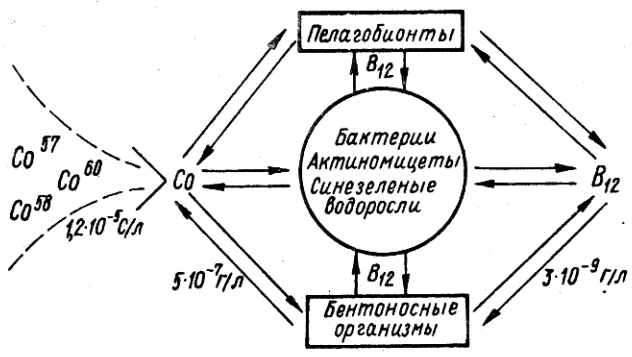
Распределение в океанах биологически активных соединений, содержащих изотопные носители радионуклидов-металлов

Определено содержание кобаламинов в пробах плейстоцен-нейстоценного и планктонного комплексов Атлантического и Тихого океанов (рис.6, б). Установлена четкая зависимость концентрации кобаламинов от набора видов и количественных соотношений между ними в исследованных комплексах. Содержание кобаламинов различно у соответствующих отрядов животных - представителей плейстоцен-нейстоценового комплекса. По степени концентрирования кобаламинов изученные животные могут быть распределены в таком порядке: Mollusca (Pteropoda)-Crustacea (Copepoda, Amphipoda) (табл.3). Установлена биохимическая особенность Copepoda накапливать кобаламины в высоких концентрациях. Из шести изученных видов зеленых и бурых водорослей наиболее высокое содержание кобаламинов обнаружено у саргас-

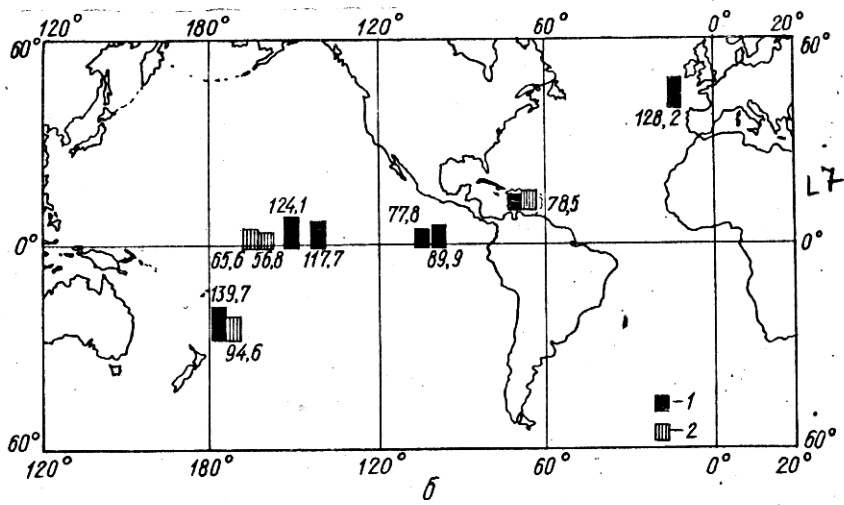
Таблица 3

Содержание кобаламинов в гидробионтах
Атлантического и Тихого океанов

Район лова	Вид гидробионта	Кобаламин, НГ/Г	
		в сыром ве- ществе	в сухом ве- ществе
Водоросли			
о.Бетио	CHLOROPHYTA		
	<i>Ulva</i> sp.	-	33,12±2,79
Станция 5	RHIZOPHYTA		
	<i>Sargassum natans</i>	82,62±13,90	
Станция 7 (233)	<i>Sargassum</i> sp. ₁	-	75,21±4,64
Станция 42(276)	<i>Sargassum</i> sp. ₂	-	25,65±1,06
о.Уполу	<i>Padina</i> sp. ₁	-	35,11±2,88
о.Бетио	<i>Padina</i> sp. ₂	-	8,70±0,82
Плейстоно-нейстонный комплекс			
CHONDROPHORA			
Станция 3	<i>Velella velella</i>	14,15±3,91	-
Станция 38(268)	SIPHONOPHORA	10,39±1,64	-
Станция 29(250)	<i>Physalia physalis</i>	49,69±2,48	-
Станция 49(297)	<i>Cavolinia tridentata</i>	205,29±12,91	-
COPROPODA			
Станция 30(256)	<i>Neocalanus gracilis</i>	132,68±9,26	-
Станция 34(261)	<i>Pontellidae</i> (G.sp. ₁)	153,98±15,06	-
Станция 3	<i>Pontellidae</i> (G.sp. ₂)	114,79±29,00	-
AMPHIPODA			
Станция 38(268)	<i>Hyperiidea</i> (G. sp. ₁)	135,23±11,64	-
Станция 52(306)	<i>Hyperiidea</i> (G.sp. ₂)	107,15±5,19	-
Станция 44(282)	<i>Hyperiidea</i> (G.sp. ₃)	159,13±8,99	-
Станция 3	<i>Parathemisto gracili-</i> <i>pes</i>	28,34±5,19	-
EUPHAUSIACEA			
Станция 30(256)	<i>Euphausia mutica</i>	53,01±2,50	-
DECAPODA			
Станция 5	<i>Planus minutus</i>	17,89±7,10	-
" "	Креветка саргассовая	27,27±5,87	-
HEMIPTERA			
Станция 43(282)	<i>Halobates</i> sp.	12,97±0,88	-
Рыбы			
сем. МУСТОРФИДАЕ			
Станция 14(241)	печень	212,19±21,62	-
	гонады	106,72±17,26	-
	мышцы	32,73±5,06	-
сем. ЭХОСОЕТИДАЕ			
Станция 49(297)	печень	138,51±9,01	-
	гонады	37,45±5,90	-
	мышцы	16,79±1,94	-



a



b

Рис.6. Круговорот кобальта в пелагиали (а) и концентрации кобаламинов (нг/г сыр.веса) в гидробионтах (б):
1 – плейстоцен-нейстоценный комплекс; 2 – эпизоопланктонный комплекс.

совых водорослей. Показано, что различные виды рыб неодинаково депонируют кобаламин. Наибольшие его количества аккумулируются в печени; содержание кобаламинов в гонадах и мышцах в несколько раз меньше.

2. Экологические исследования загрязненности океанических организмов и их биотопов

Радиоактивное загрязнение

Сняты гамма-спектры проб различных макрофитов из Атлантики и Тихого океана с помощью кристалла NaJ (Tl) 40x40 см на установке "Тензор" АИ-128.

На рис.7 видны характерные пики в зонах энергии 0,13; 0,5; 0,8 и 1,46 Мэв для проб золы саргассов из этих океанов. Они соответствуют гамма-излучению искусственно радиоактивных церия-144,

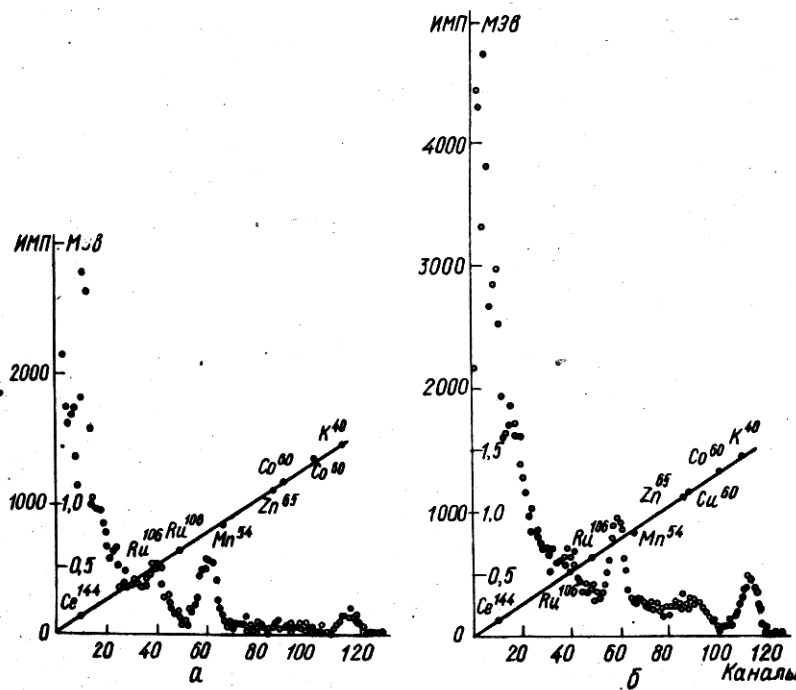


Рис.7. Гамма-спектры саргассов из Саргассова моря (а)
и Тихого океана (б).

рутения-106 и марганца-54, а также естественно радиоактивного калия-40. У падины не наблюдался пик калия-40, так как она относится к группе обедненных калием бурых водорослей (А.П.Виноградов, 1935).

Радиоактивное загрязнение отмечено, таким образом, как в макрофитах северного полушария (Атлантика, Саргассово море), так и южного (Тихий океан, Океания).

Изучение способности океанических гидробионтов концентрировать радионуклиды – загрязнители среды – проводилось в экспериментах с зоопланктонными организмами и важнейшими компонентами загрязняющих радионуклидов (из осколочных продуктов деления – церий-144 и из наведенных продуктов – кобальт-60). Выбор этих радионуклидов обусловлен тем, что ^{144}Ce предстает в виде редкоземельной группы, а ^{60}Co – изотоп одного из наиболее жизненно важных микроэлементов, входящих как необходимый компонент в состав витамина B_{12} . Через 1 ч после начала аккумуляции изучавшихся радионуклидов планктонные организмы накапливают как кобальт-60, так и церий-144 в заметных количествах; через сутки коэффициенты накопления значительно возрастают. Гиперииды аккумулируют церий-144 с большими коэффициентами накопления, чем кобальт-60 (рис.8).

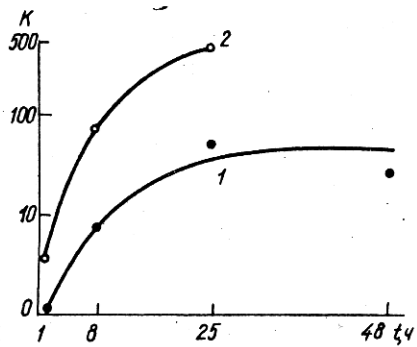


Рис.8. Изменение коэффициентов накопления кобальта-60 (1) и церия-144 (2) у гипериид во времени.

Другие виды загрязнений – нефтяные агрегаты с перифитоном

Атлантический океан, по нашим данным на всех станциях (у берегов Европы, в Саргассовом и Карибском морях – в 4-м рейсе, а также на океанографическом полигоне 1970 г. – во 2-м рейсе – Попликаров, Егоров и др., 1971) загрязнен нефтяными агрегатами с перифитоном (рис.9-II), тогда как Тихий океан, по нашим данным, на

всех станциях вдоль экватора и по всему маршруту к Австралии и обратно к тропической зоне, совершенно лишен таких загрязнений. Следовательно, нефтяное загрязнение, уже охватывая значительные акватории гидросферы, еще не стало глобальным фактором, каким является радиоактивное загрязнение.

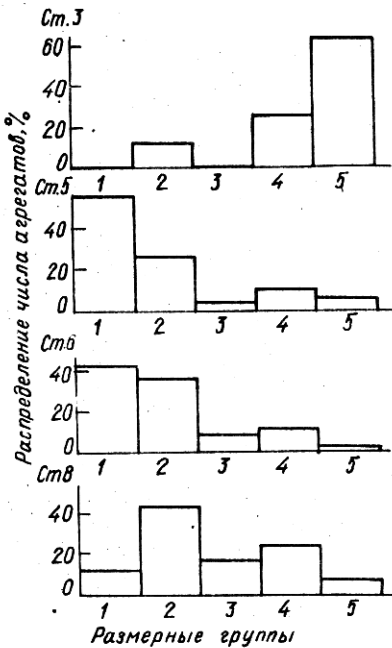


Рис.9. Распределение размеров нефтяных агрегатов в Карибском море:
1) 0-1 мм; 2) 1-2 мм;
3) 2-4 мм; 4) 4-8 мм;
5) 8-16 мм.

На рис.10 показана схема, характеризующая нефтяные агрегаты как экологический фактор. Поэтому важно привлечение внимания к экологическим исследованиям нефтяных агрегатов, населенных перифитоном.

На рис.11 показана степень загрязненности сестона нефтяными агрегатами (величины концентрации агрегатов от концентрации сестона) из верхнего горизонта 0-20 см. Вклад агрегатов нефти в сестон составляет до 4-11%. Относя агрегаты нефти, плавающие у цепочки поверхности натяжения, к сестону слоя воды глубиной 20 см, мы занижаем раз в 10 вклад агрегатов нефти в тот сестон, среди кото-

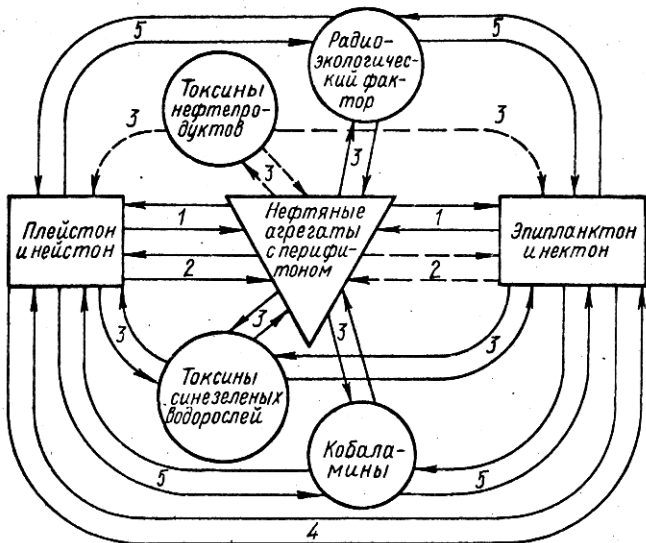


Рис. 10. Нефтяные агрегаты с перифитоном как экологический фактор (включая связь с радиоэкологическим фактором):
 1 – пищевые связи; 2 – использование субстрата; 3 – обмен со средой и воздействие из среды; 4 – комплекс взаимоотношений; -----вероятные связи.

рого плавают эти агрегаты, т.е. фактически концентрация нефтяных агрегатов уже достигла концентрации сеятона в слое загрязнения ими (0–2 см). В пересчете на жидкую нефть загрязнение ее агрегатами эквивалентно покрытию воды нефтяной пленкой от 2 до 5% в разных районах Атлантики.

В табл. 4 приведено сопоставление концентрации агрегированной нефти и биомассы копепод нейстона в Саргассовом море, из которого следует, что концентрация нефти в форме агрегатов неизмеримо превышает биомассы копепод.

Нефтяные агрегаты обрастают перифитоном, значительную долю которого составляют синезеленые водоросли – поставщики в среду сильных токсинов (Поликарпов, Егоров и др., 1971). Они же вместе с микроорганизмами служат поставщиками в морскую воду и кобаламинов. Нефтяные агрегаты – активные накопители радиоактивных веществ, поэтому они могут также рассматриваться как агенты, усиливющие радиоэкологический фактор.

Таблица 4

Отношение концентрации нефти в форме агрегатов ($C_H \frac{мг}{м^2}$) к биомассе
copepod ($B_K \frac{мг}{м^2}$) в Саргассовом море

Время взятия пробы (местное)	Концентрация агрегатов нефти, $мг/м^2$	С агрегатов нефти/ В copepod				
		Pontella atlantica	Pontella sp.	Macrosetella gracilis	Onychorocystis giesbrechti	Uroocystis laetus
I6.48-I6.50	3,4	34	20	Только нефть	17	10000
I6.56-I6.58	0,6	20	9	" "	60	10000
I7.05-I7.07	8,3	Только нефть	II8	827	827	10000
I7.14-I7.16	0,2	" "	7	Только нефть	Только нефть	10000
I7.24-I7.26	0,6	" "	20	" "	"	10000

ГЛАВА V

Спонтанная хромосомная изменчивость у морских организмов в природных условиях

16

Объект	Количество изученных организмов	Количество исследованных клеток	Число клеток с перестройками, %	Дисперсия σ^2
Cheilopogon Демерсальная икра рыб (<i>Ptenichthys furcatus</i> (?)) (на саргассовых водорослях, Саргасово море)	20	4169	2,3±0,71	1,6
Cheilopogon Демерсальная икра рыб (<i>Ptenichthys furcatus</i> (?)) ^X (на саргассовых водорослях, Карибское море)	18	1646	4,8±0,97	3,8
Нейстонная икра рыб сем. <i>Gonostomidae</i> (?) ^X (Тихий океан)	23	3359	6,0±1,08	6,3
Молодые особи парусников <i>Velella velella</i> (Тихий океан)	15	837	7,0±2,52	21,0

^X По определению проф. Т.С.Расса.

Таблица 6

Спектры спонтанной хромосомной изменчивости

Объект	Типы перестроек*							
	-	=	Г	Г-	Г=	Х	Х-	Х=
Икра рыб (Саргассово море)	16,7±5,6	7,1±3,1	67,0±7,3	0,6±0,6	1,0±1,0	7,6±5,2	0	0
Икра рыб (Карибское море)	4,7±2,2	0,9±0,9	87,3±3,6	2,0±1,4	0	5,1±2,9	0	0
Икра рыб (Тихий океан)	1,8±0,9	0,7±0,5	89,1±2,0	4,3±1,4	0,7±0,5	2,8±1,0	0,4±0,4	0,2±0,2
Парусники <i>Velella</i> velella (Тихий океан)	11,7±7,3	3,3±2,4	64,2±9,1	2,9±2,0	0,6±0,6	17,3±7,6	0	0

* Общее число перестроек принято за 100%. Обозначения: - - одиночный фрагмент;
 = - парный фрагмент; Г - одиночный мост; Г- - одиночный мост с фрагментом; Г= -
 одиночный мост с парой фрагментов; Х - парный мост; Х- - парный мост с фрагментом;
 Х= - парный мост с парой фрагментов.

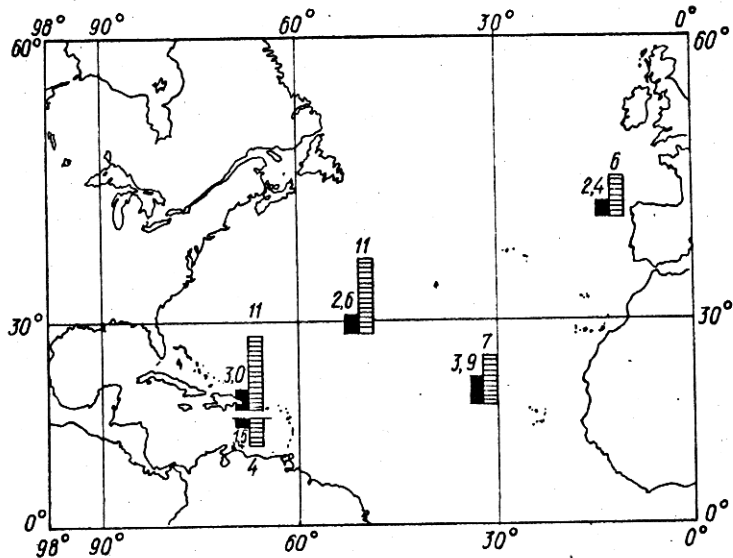


Рис. II. Загрязненность ($\text{мг}/\text{г}$) нефтяными агрегатами (черные столбики) Атлантики. Полосатые столбики – степень загрязненности сестона (%) нефтяными агрегатами.

Фон хромосомной изменчивости у океанических животных из географически удаленных районов

Для выявления возможностей количественной оценки длительного воздействия различных факторов среди на океанические организмы в этом рейсе изучался уровень хромосомного мутагенеза у ряда представителей животного населения Атлантического и Тихого океанов.

Исследование существующего уровня спонтанной хромосомной изменчивости необходимо как отправная точка, как фон для последующих систематических определений этого цитогенетического параметра у избранных (желательно широкого круга) видов.

Уровень спонтанных изменений хромосом приведен в табл. 5. Наибольшее количество ядерных нарушений обнаружено у тихоокеанских организмов. У них же отмечена и наибольшая вариабельность (дисперсия) по этому показателю (особенно у хондрофоры царусника). Высо-

кий уровень спонтанного мутационного процесса у молодых развивающихся организмов, по-видимому, связан с активным процессом тканевой дифференцировки и может определяться видовыми особенностями разных организмов.

Вместе с тем, высокая вариабельность тихоокеанских организмов по величине спонтанных ядерных изменений может свидетельствовать о воздействии на их мутационный процесс мутагенных факторов внешней среды и о неодинаковой индивидуальной чувствительности их к такому воздействию. В этом отношении особенно в неблагоприятных условиях обитают плейстоны - парусники, приуроченные к самой поверхности воды.

Характер спонтанных хромосомных изменений отражен в табл.6. У всех организмов в спектре ядерных изменений преобладают одиночные хроматидные мосты (60-90%), которые является, по-видимому, следствием стабилизированных циклов мостов в ряду клеточных поколений.

Выводы

1. Разработанные в рейсе шесть вычислительных программ, входящих в комплекс математического обеспечения экспедиционных биологических исследований, позволили до 40 раз уменьшить затраты труда на количественную обработку биологических данных.

2. Концентрация сестона вдоль экватора Тихого океана, как правило, превосходит таковую в Атлантике, включая Карибское море.

3. Впервые в биосооеканографии предпринята попытка ввести понятия о биологических полях различной градации. Выявлена пирамида биологических полей плейстоно-нейстононого комплекса как в Атлантике, так и в Тихом океане. С увеличением размеров биополя его доля в общем числе биополей разных размерных категорий уменьшается. Такой подход к изучению распределения живого вещества может послужить приближению понятий биологического поля к понятиям физических и химических полей в океане. Познание структуры и динамики биополей откроет пути изучения биогеохимических механизмов миграции и распределения веществ в биогеоценозах пелагии.

4. Из сопоставления коэффициентов накопления кобальта, находящегося в морской воде в минеральной форме (в том числе радио-

иуклиды кобальта из радиоактивных отходов) и в форме кобаламинов (витамина B_{12} и его аналогов), морскими и океаническими организмами следует, что с переходом кобальта в биохимическое состояние, т.е. в B_{12} , резко усиливается его миграционная способность: коэффициенты его накопления возрастают на несколько порядков величин.

Получены первые в литературе данные о величинах концентрации кобаламинов в плейстоно-нейстононом и эпиланктонном комплексах и их компонентах (массовых видах) в открытых районах Атлантики и Тихого океанов. Выявлены блокконцентраторы витамина B_{12} : крылоногий моллюск *Cavolinia tridentata* (концентрация B_{12} , в котором составляет 205±13 нг/г сырого веса: столько же, сколько в печени светящихся анчоусов и значительно больше, чем в печени летучих рыб). беслоногие ракообразные (например, *Neocalanus gracilis* - 133±9 нг/г сырого веса) и саргассовая водоросль *Sargassum natans* (83±14 нг/г сырого веса). Обеднены витамином B_{12} представители кишечнополостных - хондрорифы (*Velella velella*) и насекомых - океанические водомерки (*Halobates*) - около 10 нг/г сырого веса.

5. Радиоактивное загрязнение отмечено как в макрофитах северного полушария (Атлантика, Саргассово море), так и южного (Тихий океан, Океания). Таким образом, подтвержден глобальный характер радиоэкологического фактора.

6. Атлантический океан (от берегов Европы через Саргассово море до Карибского моря) загрязнен нефтяными агрегатами, тогда как Тихий океан по всему маршруту следования и работ вдоль экватора, на переходе к Сиднею и на пути к тропической зоне совершиенно лишен таких загрязнений. Следовательно, нефтяное загрязнение, уже охватывая значительные акватории гидросферы, еще не стало глобальным фактором, каким является уже давно радиоактивное загрязнение. Разработана впервые в морской биологии (области научных основ охраны живой природы океана) схема, характеризующая нефтяные агрегаты как комплексный экологический фактор.

7. В современных условиях возникают специфические проблемы Саргассова моря, связанные с необходимостью незамедлительного международного соглашения об охране и рациональном использовании легко доступных запасов его пелагических саргассовых водорослей. По нашим оценкам, саргассы этого моря содержат многие центнеры витамина B_{12} . Мы не обсуждаем здесь возможные пути использования саргассов в народном хозяйстве (в качестве подкормки животным, удобрение-

ний растений и т.д.). В случае разработок запасов саргассовых водорослей необходимо рациональное регулирование их эксплуатации. Как уже показано в табл. 6 и 7, Саргассово море загрязняется радиоактивными и нефтяными веществами (нами отмечены также разнообразные загрязняющие предметы, главным образом, синтетической природы в этом открытом районе Атлантики).

8. Для выявления давления, оказываемого человечеством (биосферой) на живую природу океанов, выполнено впервые цитогенетическое исследование на океанических организмах.

Наибольшее количество ядерных нарушений обнаружено у тихоокеанских организмов. У них же отмечена и наибольшая вариабельность по этому показателю, что может свидетельствовать, на наш взгляд, о воздействии на их мутационный процесс мутагенных факторов внешней среды (из наиболее вероятных, в первую очередь радиоактивного загрязнения Тихого океана как испытательного ядерного полигона). Особенно в неблагоприятных условиях обитают парусники, приуроченные к самой поверхности воды. Проведенное исследование мы рассматриваем как первый этап систематических определений уровня спонтанной хромосомной изменчивости у выбранных видов.

Л и т е р а т у р а

- Вернадский В.И. 1965. Химическое строение биосфера земли и ее окружения. "Наука", М.
- Биноградов М.Е. 1968. Вертикальное распределение океанического зоопланктона. "Наука", М.
- Водяницкий В.А. 1953. О проблеме биологической продуктивности моря. - Тр. Всесоюзной конференции по вопросам рыбного хозяйства. Изд-во АН СССР, М.
- Зайцев Ю.П. 1970. Морская геостонология. "Наукова думка".
- Поликарпов Г.Г. и др. 1971. Нефтяные поля как экологическая ниша. - Природа, № II.
- Савилов А.И. 1969. Плейстоцен Тихого океана. Биология Тихого океана. "Наука", М.
- Морская радиоэкология. 1970. "Наукова думка", К.
- Купцева Л.С. 1961. Микробиологические методы определения витамина АН УССР, М.
- Радиоэкологические исследования Средиземного моря. 1970. "Наукова думка", К.
- Радиационная и химическая экология гидробионтов. 1972. "Наукова думка", К.
- Хеморадиоэкология пелагиали и бентали. 1974. "Наукова думка", К.